

อุทกภัย ปี 2568:
ความเสี่ยง และผลกระทบ

สิงหาคม 2568 วิจัยกรุงศรี

บทนำ

ในช่วงต้นปี 2568 สภาพอากาศโลกยังคงอยู่ในช่วงปกติ (ENSO-Neutral) อย่างไรก็ตาม ในช่วงครึ่งปีหลัง วิจัยกรุงศรีได้ประเมินความเป็นไปได้ของปรากฏการณ์ ENSO ออกเป็น 3 ฉากทัศน์ โดยใช้ดัชนีอุณหภูมิมหาสมุทร ONI เป็นหลัก โดยดัชนี ONI มีแนวโน้มลดลงสู่สภาวะปกติฝั่งลบ (Negative Neutral) และจะลดระดับลงสู่ภาวะลานีญา (La Niña) เป็นลำดับถัดไป ประกอบกับการวิเคราะห์จากค่าดัชนีอื่นๆ ที่เกี่ยวข้อง อาทิ ดัชนี SOI ดัชนี PDO ดัชนี SAMOI และดัชนี IOD ซึ่งดัชนีเหล่านี้บ่งชี้ว่าในช่วงที่เหลือของปี 2568 ประเทศไทยมีแนวโน้มจะเผชิญกับปริมาณฝนที่มากกว่าปกติ และแรงลมที่รุนแรงมากขึ้น

เมื่อพิจารณาร่วมกับโอกาสการเผชิญพายุหมุนเขตร้อน อิทธิพลของลมมรสุมประจำถิ่น และปริมาณน้ำในเขื่อนในปัจจุบัน พบว่าพื้นที่เสี่ยงสูงที่จะเผชิญอุทกภัย ได้แก่ ภาคเหนือ ภาคตะวันออกเฉียงเหนือ ภาคกลางตอนบน (ในช่วงไตรมาส 3) และภาคใต้ฝั่งอ่าวไทย (ในช่วงไตรมาส 4) โดยเฉพาะภาคเหนือตอนล่างซึ่งเป็นเส้นทางน้ำผ่าน และภาคกลางซึ่งเป็นพื้นที่รับน้ำและเป็นพื้นที่น้ำท่วมซ้ำซาก ซึ่งหากเกิดอุทกภัยขึ้นจะสร้างความเสียหายครอบคลุมตั้งแต่พื้นที่เกษตร สิ่งปลูกสร้าง ครัวเรือน เครื่องจักร สินค้าอุปโภคบริโภค เส้นทางคมนาคม และสาธารณูปโภคต่างๆ

ทั้งนี้ วิจัยกรุงศรีคาดว่าพื้นที่ที่ประสบอุทกภัยในปี 2568 นี้จะอยู่ที่ 9.5 ล้านไร่ สร้างความเสียหายต่อทรัพย์สินราว 3.7 พันล้านบาท ขณะที่มูลค่าสินค้าเกษตรเสียหาย 1.99 หมื่นล้านบาท (กรณีฐาน) ทำให้ความเสียหายรวมกันอยู่ที่ 2.36 หมื่นล้านบาท หรือคิดเป็นราว -0.13% ของ GDP

ชัยวัช โซวเจริญสุข

นักวิเคราะห์อาวุโส

chaiwat.sowcharoensuk@krungsri.com

+662 296 2000 Ext. 50880



Subscribe Us

สมัครสมาชิกวิจัยกรุงศรี...

krungsri.research@krungsri.com

คำสงวนสิทธิ์

เนื้อหาและข้อมูลใดๆ ทั้งหมดที่ปรากฏในรายงานฉบับนี้ หากมิได้ระบุไว้เป็นอย่างอื่น ถือเป็นลิขสิทธิ์ของวิจัยกรุงศรี ห้ามมิให้ผู้ใดกระทำการใดๆ เกี่ยวข้องกับเนื้อหา สำเนา หรือดัดแปลงแก่บุคคลอื่นโดยมิได้รับอนุญาตเป็นลายลักษณ์อักษรจากวิจัยกรุงศรี รายงานฉบับนี้จัดทำขึ้นโดยอาศัยข้อมูลจากแหล่งที่เชื่อหรือควรเชื่อว่ามีความน่าเชื่อถือ อย่างไรก็ตาม วิจัยกรุงศรีไม่อาจรับรองความครบถ้วนสมบูรณ์หรือความถูกต้องของข้อมูลดังกล่าว อีกทั้งไม่รับผิดชอบต่อความเสียหายที่เกิดขึ้นทั้งทางตรงหรือทางอ้อมจากการใช้รายงานฉบับนี้หรือเนื้อหาในรายงานฉบับนี้ ข้อมูล ความคิดเห็น และการประมาณการที่ปรากฏในรายงานนี้ถือเป็นความคิดเห็นของวิจัยกรุงศรี ไม่จำเป็นต้องสอดคล้องกับ ธนาคารกรุงศรีอยุธยา จำกัด (มหาชน) และบริษัทในเครือ ความคิดเห็นในรายงานฉบับนี้เป็นไปตามสถานการณ์ปัจจุบัน ณ วันที่มีการเผยแพร่รายงาน วิจัยกรุงศรีขอสงวนสิทธิ์ในการเปลี่ยนแปลงโดยมิต้องแจ้งให้ทราบล่วงหน้า

ปัจจัยแวดล้อมที่อาจก่อให้เกิดอุทกภัย ในช่วง 5 เดือนที่เหลือของปี 2568

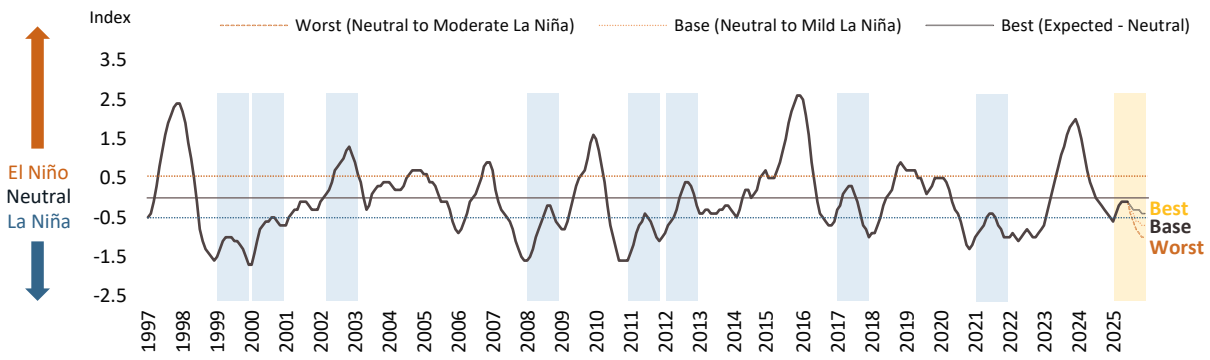
ในช่วงต้นปี ในช่วงต้นปี 2568 สภาพภูมิอากาศโลกยังคงอยู่ในสภาวะเป็นกลาง (ENSO-Neutral[1/]) ซึ่งสามารถสังเกตได้จากค่าดัชนี Oceanic Niño Index (ONI) ที่วัดอุณหภูมิผิวน้ำในมหาสมุทรแปซิฟิกบริเวณเส้นศูนย์สูตร โดย ณ เดือนพฤษภาคม 2568[2/] ค่าดัชนี ONI อยู่ที่ระดับ -0.1°C ซึ่งถือว่ายังอยู่ในสถานะเป็นกลาง[3/] อย่างไรก็ตาม เมื่อวิเคราะห์แนวโน้มในช่วงครึ่งหลังของปี 2568 พบว่าดัชนี ONI มีแนวโน้มอ่อนค่าลงและอาจเข้าสู่ภาวะลานีญา (La Niña[4/]) ได้เร็วกว่าที่คาดไว้

การประเมินนี้ อ้างอิงจากรูปแบบวัฏจักรที่เกิดขึ้นในช่วง 75 ปีที่ผ่านมา[5/] อาทิ ช่วงปี 2542-2543 ปี 2545 ปี 2551 ช่วงปี 2554-2555 (มหาอุทกภัย) ปี 2560 และปี 2564 โดยวิจัยกรุงศรีได้ประเมินความเป็นไปได้ของปรากฏการณ์ ENSO ตาม 3 ฉากทัศน์ (ภาพที่ 1) ได้แก่

- **กรณีดีที่สุด** (Best case): ดัชนี ONI จะลดลงอย่างค่อยเป็นค่อยไปตั้งแต่เดือนมิถุนายน-ธันวาคม 2568 แต่ยังคงอยู่ในสถานะเป็นกลาง (Neutral) ตลอดช่วงเวลาดังกล่าว
- **กรณีฐาน** (Base case) **อยู่ในสภาวะเป็นกลางจนถึงภาวะลานีญาระดับอ่อน** (Neutral to Mild La Niña): ในกรณีนี้ ดัชนี ONI จะปรับตัวลดลงตั้งแต่เดือนมิถุนายน 2568 โดยเร่งตัวลงสู่ระดับลานีญาระดับอ่อน ในช่วงเดือนสิงหาคม-กันยายน 2568 ซึ่งอัตราการลดลงใกล้เคียงกับภาวะลานีญาที่เคยเกิดขึ้นในปี 2559-2560 และ 2563-2565 ก่อนจะค่อยๆ อ่อนกำลังลงแต่ยังทรงตัวอยู่ในช่วงลานีญาระดับอ่อนจนถึงเดือนธันวาคม 2568
- **กรณีเลวร้ายที่สุด** (Worst case) **อยู่ในสภาวะเป็นกลางจนถึงภาวะลานีญาระดับปานกลาง** (Neutral to Moderate La Niña): สำหรับฉากทัศน์นี้ ดัชนี ONI จะปรับตัวลดลงตั้งแต่เดือนมิถุนายน 2568 โดยเร่งตัวลงสู่ลานีญาระดับอ่อนในช่วงเดือนสิงหาคม-กันยายน 2568 และยังคงลดลงต่อเนื่องจนเข้าสู่ภาวะลานีญาระดับปานกลางในเดือนพฤศจิกายน 2568 ทั้งนี้ อัตราการลดลงใกล้เคียงกับภาวะลานีญาปี 2550 และปี 2553-2554

ภาพที่ 1

Oceanic Indices



Note: index > +0.5, meaning the rain is less than normal level (El Niño);
index < -0.5, meaning the rain is more than normal level (La Niña)

Source: National Oceanic and Atmospheric Administration

1/ El Niño/Southern Oscillation (ENSO) เป็นปรากฏการณ์ภูมิอากาศขนาดใหญ่ที่เกิดขึ้นในมหาสมุทรแปซิฟิกเขตร้อน ซึ่งมีความเชื่อมโยงกันระหว่างมหาสมุทร และชั้นบรรยากาศ โดยการวัดค่าสภาวะของ ENSO จะใช้ค่าดัชนี Oceanic Niño Index (ONI) เป็นตัวชี้วัดเพื่อระบุสภาวะของ ENSO ว่าเป็นเอลนีโญ (El Niño) ลานีญา (La Niña) หรือเป็นกลาง (Neutral) โดยวงรอบการเกิดของปรากฏการณ์ ENSO จะอยู่ที่ 2-7 ปี

2/ ค่าดัชนี ONI เป็นดัชนีบ่งชี้ด้านมหาสมุทร ซึ่งเป็นค่าเฉลี่ยของอุณหภูมิผิวน้ำมหาสมุทรในช่วง 3 เดือน อาทิ AMJ แสดงถึงเฉลี่ยเดือนเมษายน พฤษภาคม และมิถุนายน ทั้งนี้ ค่าดัชนี ONI ล่าสุด ณ เดือนพฤษภาคม 2568 จึงเป็นค่าเฉลี่ย 3 เดือนของเดือนเมษายน พฤษภาคม และมิถุนายน 2568

3/ ค่าดัชนี ONI สถานะเป็นกลาง (Neutral) จะมีค่าดัชนีอยู่ระหว่าง -0.5°C ถึง 0.5°C ซึ่งสถานการณ์ดังกล่าวหมายถึงอุณหภูมิผิวน้ำมหาสมุทรมีแนวโน้มกลับมาอยู่ในเกณฑ์ค่าเฉลี่ย

4/ ลานีญา (La Niña) เป็นปรากฏการณ์ที่อุณหภูมิผิวน้ำมหาสมุทรเย็นขึ้นกว่าค่าเฉลี่ยปกติ ส่วนใหญ่จะก่อให้เกิดความชื้นมากขึ้นในภูมิภาคเอเชียตะวันออกเฉียงใต้ และทำให้ฝนตกมากกว่าปกติ โดยความรุนแรงของภาวะลานีญาสามารถบ่งชี้ได้จากดัชนี ONI Index โดยหากค่าดัชนีฯ อยู่ระหว่าง -0.5 ถึง -0.9 จะจัดว่าเป็นภาวะลานีญาระดับอ่อน (Weak La Niña) ค่าระหว่าง -1.0 ถึง -1.4 คือ ภาวะลานีญาระดับปานกลาง (Moderate La Niña) ค่าระหว่าง -1.5 ถึง -1.9 คือภาวะลานีญาระดับรุนแรง (Strong La Niña) และถ้ามากกว่า -2.0 จะบ่งชี้ภาวะลานีญาระดับรุนแรงมาก (Very Strong La Niña) ในทางกลับกัน หากดัชนีฯ มีค่าเป็นบวกจะบ่งชี้ปรากฏการณ์เอลนีโญ (El Niño) โดยสามารถใช้หลักการเดียวกันในการบ่งชี้ความรุนแรง

5/ ข้อมูลย้อนหลังเท่าที่มี (Available Data) ตั้งแต่ปี พ.ศ. 2493-2567 (75 ปี)

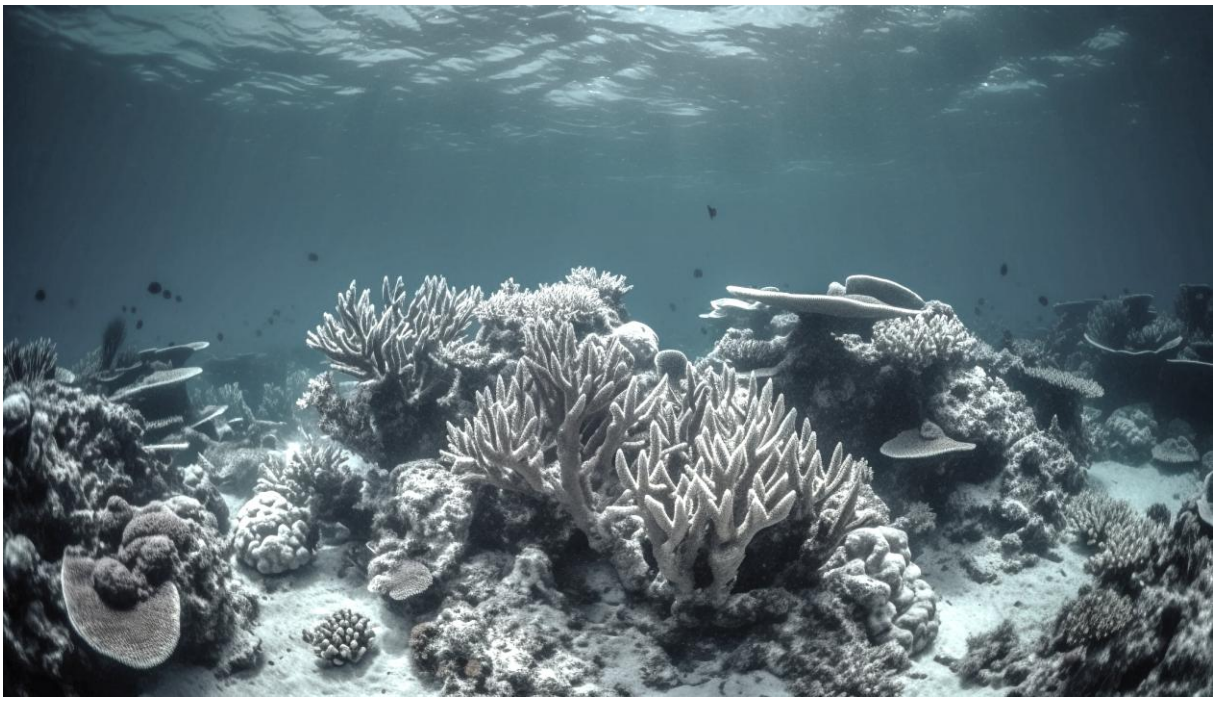
Box 1 ปรากฏการณ์ ENSO

El Niño Southern Oscillation (ENSO) เป็นปรากฏการณ์ที่เกิดขึ้นจากความสัมพันธ์ระหว่างการเปลี่ยนแปลงของอุณหภูมิผิวน้ำทะเลในมหาสมุทรแปซิฟิกเขตศูนย์สูตร กับความผันแปรของระบบชั้นบรรยากาศในซีกโลกใต้ (Southern Oscillation)

โดยสภาวะอุ่นของเอนโซ่ (Warm Phase of ENSO / El Niño) เป็นปรากฏการณ์อุณหภูมิผิวน้ำทะเลบริเวณตอนกลางและตะวันออกของแปซิฟิกเขตศูนย์สูตรอุ่นขึ้นผิดปกติ ลมจะพัดจากทิศตะวันตกไปตะวันออก ส่งผลให้เกิดความชื้นและฝนตกหนักทางฝั่งตะวันออกของมหาสมุทรแปซิฟิก ทำให้ในทางกลับกัน

สภาวะเย็นของเอนโซ่ (Cold Phase of ENSO / La Niña) จะหมายถึงปรากฏการณ์อุณหภูมิผิวน้ำทะเลบริเวณตอนกลางและตะวันออกของแปซิฟิกเขตศูนย์สูตรเย็นขึ้นผิดปกติ ลมจะพัดจากทิศตะวันออกไปตะวันตก เกิดความชื้นและฝนตกหนักทางฝั่งตะวันตกของมหาสมุทรแปซิฟิก

สถานะของปรากฏการณ์ ENSO บ่งชี้ได้จากค่าดัชนี ONI ไว้สำหรับตรวจอุณหภูมิผิวหน้าน้ำทะเลบริเวณกลางมหาสมุทรแปซิฟิก ซึ่งเป็นค่าเฉลี่ยทุก 3 เดือน อาทิ MJJ แสดงถึงค่าเฉลี่ย ONI ช่วงเดือนพฤษภาคม มิถุนายน และกรกฎาคม ดังนั้นค่าดัชนี ONI ล่าสุด ณ เดือนมิถุนายน 2568 จึงเป็นค่าเฉลี่ย 3 เดือนของเดือนพฤษภาคม มิถุนายน และกรกฎาคม 2568

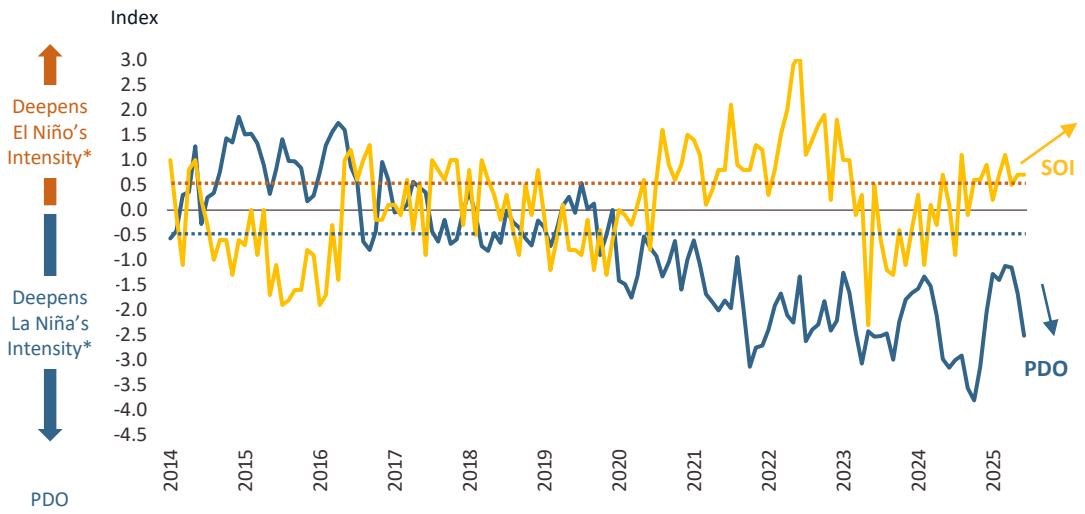


นอกจากการพิจารณาดัชนี ONI ซึ่งเป็นดัชนีอุณหภูมิมหาสมุทรแล้ว เรายังต้องพิจารณาดัชนีชี้วัดสภาพอากาศและปัจจัยแวดล้อมอื่นควบคู่กันไปอีกด้วยเพื่อวิเคราะห์สภาพอากาศและคาดการณ์ปริมาณฝนของไทย โดยเฉพาะอิทธิพลของลมพายุและลมมรสุม ดังนี้

- **อิทธิพลของชั้นบรรยากาศ** (Atmospheric Influence) : แม้ว่าเอลนีโญและลานีญาจะเป็นปรากฏการณ์ที่เกิดขึ้นในมหาสมุทรและใช้ดัชนี ONI เป็นเครื่องชี้หลักในการพิจารณา แต่ปรากฏการณ์เหล่านี้ยังมีความสัมพันธ์เชื่อมโยงกับความผันแปรของระบบชั้นบรรยากาศในซีกโลกใต้ (Southern Oscillation) ผ่านดัชนี Southern Oscillation Index (SOI) อีกด้วย โดยเมื่อค่าดัชนี SOI เป็นบวกและเป็นบวกต่อเนื่อง (Positive SOI) จะบ่งชี้การเกิดปรากฏการณ์ลานีญา และยิ่งค่าดัชนีเบี่ยงเบนจากศูนย์มากเท่าไหร่ ยิ่งสะท้อนความรุนแรงของพายุที่จะเกิดจากลานีญาได้มากขึ้น ทั้งนี้ ในเดือนมิถุนายน 2568 ดัชนี SOI มีค่าเป็นบวกที่ 0.7 ดังนั้น หากวิเคราะห์แนวโน้มของค่าดัชนี SOI คาดว่า**ปริมาณลมและฝนจากผลของลานีญาจะมีแนวโน้มรุนแรงขึ้นในช่วงที่เหลือของปี**
- **ความถี่และความรุนแรง** (Frequency and Intensity): เมื่อเราวิเคราะห์รูปแบบความผันผวนของอุณหภูมิผิวน้ำทะเลในมหาสมุทรแปซิฟิกเหนือ ผ่านดัชนี Pacific Decadal Oscillation (PDO)[6/] ซึ่งวัดความต่างของอุณหภูมิน้ำฝั่งตะวันตกและตะวันออกในมหาสมุทรแปซิฟิก ก็จะสามารถบ่งชี้ได้ว่าลานีญาจะเกิดบ่อยแค่ไหนและรุนแรงเพียงใด โดยเมื่อค่า PDO เป็นลบที่ต่ำกว่า -0.5 (Negative PDO) ลานีญาจะเกิดบ่อยขึ้นและรุนแรงขึ้น ปัจจุบันในเดือนมิถุนายน 2568 ค่า PDO อยู่ที่ -2.51 (ภาพที่ 2) ซึ่งเป็นค่าติดลบที่ค่อนข้างมาก จึงหมายความว่า**หากเกิดลานีญาขึ้นจริง ประเทศไทยจะได้รับผลกระทบรุนแรงกว่าปกติในรูปแบบปริมาณฝนที่มากขึ้น**

ภาพที่ 2

The Southern Oscillation Index (SOI) and Pacific Decadal Oscillation (PDO) Index



Note : SOI and PDO is unitless or standardized index.
* PDO's Interpretation

Source: Japan Meteorological Agency (JMA) - Tokyo Climate Center (TCC), National Oceanic and Atmospheric Administration

6/ Pacific Decadal Oscillation (PDO) เป็นปรากฏการณ์ความต่างของอุณหภูมิน้ำทะเลฟากตะวันออกและฟากตะวันตกของมหาสมุทรแปซิฟิกบริเวณ 20°N หากค่าเป็นลบต่ำกว่า -0.5 ถือว่าเป็น Negative PDO น้ำทะเลในมหาสมุทรแปซิฟิกตอนกลางและตะวันตกเฉียงเหนือจะอุ่นกว่าปกติ ทำให้พื้นที่เอเชียอบอุ่นกว่าปกติ ขณะที่ชายฝั่งแปซิฟิกของอเมริกาเหนือจะเย็นและชื้นกว่าปกติ ทั้งนี้ Negative PDO จะส่งเสริมความถี่และความรุนแรงของปรากฏการณ์ La Niña มากขึ้น ในทางกลับกัน หากดัชนีฯ มีค่าเป็นบวกก็สามารถใช้หลักการเดียวกันในทางตรงข้าม ทั้งนี้ปรากฏการณ์ดังกล่าวจะสลับค่าบวก/ลบเฉลี่ยรอบละ 20-30 ปี ซึ่งในเดือนมิถุนายน 2568 ดัชนี PDO มีค่าเป็นลบที่ -2.5

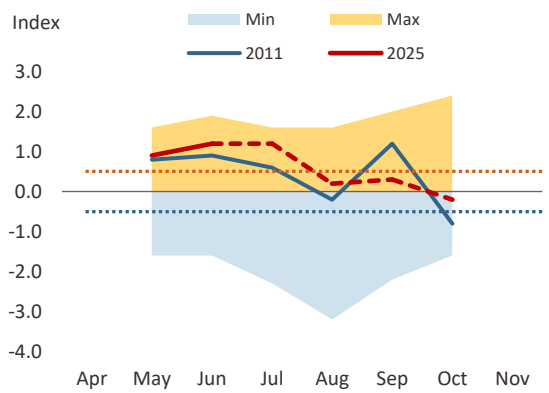
- **ลมมรสุมประจำถิ่น (Local Monsoon)** : ดัชนี Summer Asian Monsoon OLR Index (SAMOI[7/]) วัดอิทธิพลของลมมรสุมตะวันตกเฉียงใต้ที่นำความชื้นจากมหาสมุทรอินเดียมาสู่ไทยตั้งแต่เดือนพฤษภาคม-ตุลาคมของทุกปี โดยค่าดัชนี SAMOI ที่เป็นบวกจะบ่งชี้ว่าลมมรสุมตะวันตกเฉียงใต้จะพัดแรงขึ้น ทั้งนี้ ในเดือนมิถุนายน 2568 ค่าดัชนี SAMOI อยู่ที่ 1.2 บ่งชี้ว่าลมมรสุมจะแรงขึ้น **ส่งผลให้ภาคตะวันตกและภาคใต้ฝั่งอันดามันของไทยมีลมที่ชื้นพัดเข้ามามากกว่าปกติและมีโอกาสฝนตกมากขึ้นกว่าค่าเฉลี่ย**

- **ปัจจัยเมฆฝนและความชื้น (Factors influencing cloud and moisture formation)**: ลมมรสุมตะวันตกเฉียงใต้เป็นระบบการไหลเวียนของลมและฝนตามฤดูกาลที่มีต้นกำเนิดจากมหาสมุทรอินเดีย โดยความผิดปกติของความรุนแรงของลมมรสุม (Summer Asian Monsoon) จะได้รับอิทธิพลจากความแตกต่างของอุณหภูมิผิวน้ำทะเลในมหาสมุทรอินเดีย ซึ่งสามารถวัดค่าได้จากดัชนี Indian Ocean Dipole (IOD)[8/] เมื่อค่าดัชนี IOD เป็นบวกอย่างต่อเนื่อง (Positive IOD) มากกว่า 0.5°C จะส่งผลให้อุณหภูมิผิวน้ำทะเลในมหาสมุทรอินเดียตะวันตก (บริเวณใกล้แอฟริกา) อุ่นกว่าปกติ ทำให้กลุ่มเมฆฝนเคลื่อนตัวไปทางตะวันตกและส่งผลให้พื้นที่ดังกล่าวมีปริมาณฝนตกหนักมากกว่าปกติในช่วงฤดูมรสุม อย่างไรก็ตาม ในเดือนเมษายน 2568 ดัชนี IOD มีค่า +0.15°C (ภาพที่ 4) ซึ่งอยู่ในช่วงกลาง (-0.5 ถึง +0.5°C) หรือมีสถานะเป็นกลาง (Neutral IOD) **ดังนั้น ในปีนี้ลมมรสุมที่พัดมาจากมหาสมุทรอินเดียจะส่งผลให้สภาพอากาศของประเทศไทย โดยเฉพาะภาคใต้ฝั่งอันดามัน เป็นไปตามปกติของฤดูกาลประจำปี** โดยไม่มีอิทธิพลจากกลุ่มเมฆฝนหรือความชื้นจากมหาสมุทรอินเดียที่จะทำให้ปริมาณฝนในประเทศไทยเพิ่มขึ้นหรือลดลงผิดปกติอย่างรุนแรง

จากดัชนีสมุทรศาสตร์และดัชนีชั้นบรรยากาศ วิจัยกรุงศรีจึงประเมินว่า **ในปี 2568 ประเทศไทยมีแนวโน้มจะเผชิญกับปริมาณฝนที่มากกว่าค่าเฉลี่ยและแรงลมที่รุนแรงมากขึ้น** ผลจากการเข้าสู่ภาวะลานีญาที่คาดว่าจะมีกำลังแรง (ซึ่งได้รับการเสริมจากค่า PDO ที่เป็นลบ) รวมถึงลมมรสุมตะวันตกเฉียงใต้ที่แข็งแกร่งขึ้นเล็กน้อย (จากค่า SAMOI ที่เป็นบวก) แม้ว่าดัชนี IOD จะยังคงสภาวะเป็นกลางก็ตาม

ภาพที่ 3

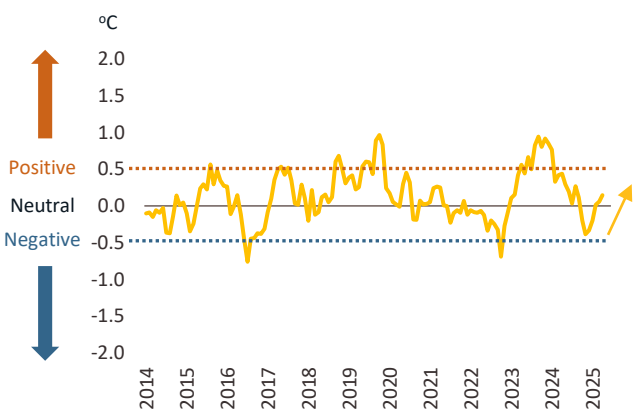
The Summer Asian Monsoon OLR Index



Note : Forecast by Krungsri Research
Source: Japan Meteorological Agency (JMA) - Tokyo Climate Center (TCC)

ภาพที่ 4

The Indian Ocean Dipole (IOD) Index



Source: National Oceanic and Atmospheric Administration

7/ Summer Asian Monsoon Outgoing Longwave Radiation Index คือ ระบบวัดความแข็งแรงโดยรวมของมรสุมฤดูร้อนที่ครอบคลุมพื้นที่ส่วนใหญ่ของเอเชีย ตั้งแต่เอเชียใต้ เอเชียตะวันออกเฉียงใต้ ไปจนถึงเอเชียตะวันออก ซึ่งเป็นช่วงฤดูที่ภูมิภาคนี้ได้รับฝนมากที่สุด ทั้งนี้ หากค่า SAMOI เป็นบวก จะแสดงถึงลมมรสุมมีความแข็งแรงกว่าปกติ ซึ่งเพิ่มโอกาสที่จะมีฝนตกมากกว่าค่าเฉลี่ยในประเทศไทย และอาจเพิ่มความเสี่ยงต่อน้ำท่วม หากดัชนีฯ มีค่าเป็นลบก็สามารถใช้หลักการเดียวกันในทางตรงข้าม อย่างไรก็ตาม หากค่าดัชนีเข้าใกล้ศูนย์จะถือชี้ว่าลมมรสุมมีความแข็งแรงอยู่ในระดับปกติ

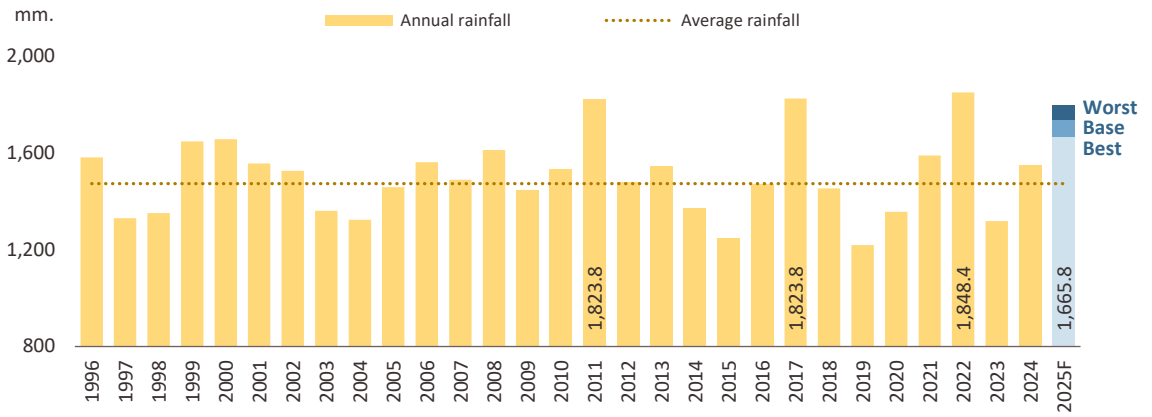
8/ Indian Ocean Dipole (IOD) หรือ Dipole Mode Index (DMI) เป็นการเคลื่อนไหวไปมาสลับกันระหว่างกระแสน้ำอุ่นด้านตะวันตกและตะวันออกของมหาสมุทรอินเดียบริเวณ 50°E-70°E, 10°S-10°N และ 90°E-110°E, 10°S-0°N ถ้าค่าเป็นลบต่ำกว่า -0.5°C ถือว่าเป็น Negative IOD กระแสน้ำอุ่นจะไปรวมตัวด้านตะวันออกของมหาสมุทรอินเดีย กลุ่มเมฆฝนและฝนตกหนักจะเคลื่อนตัวไปทางตะวันออกส่งผลให้ฝนตกในไทยสูงกว่าปกติในช่วงฤดูมรสุม ขณะที่ฝั่งแอฟริกาซึ่งอยู่อีกฝั่งของมหาสมุทรอินเดียจะประสบภาวะแห้งแล้ง ในทางกลับกัน หากดัชนีฯ มีค่าเป็นบวกก็สามารถใช้หลักการเดียวกันในทางตรงข้าม ถ้าค่าดัชนีอยู่ระหว่าง -0.5°C ถึง 0.5°C ถือว่าเป็น Neutral IOD

นอกจากนี้ ทั้งภูมิภาคเอเชียตะวันออกเฉียงใต้ยังมีแนวโน้มเกิดฝนตกมากขึ้นและเสี่ยงต่ออุทกภัย โดยความรุนแรงของอุทกภัยที่ไทยจะเผชิญนั้น จำเป็นต้องวิเคราะห์สภาพอากาศและปัจจัยแวดล้อมเพิ่มเติม ดังนี้

1) **ปริมาณน้ำฝนในช่วงครึ่งหลังปี 2568 (สิงหาคม-ธันวาคม) คาดว่าจะมากกว่าระดับปกติ**[9/] **ราว 13.0-22.0%** โดยค่าดัชนี ONI ในช่วง 6 เดือนแรกของปี 2568 แม้จะอยู่ในสภาวะเป็นกลางแต่ค่าอยู่ต่ำกว่า 0 ส่งผลให้ปริมาณฝน[10/] สูงกว่าค่าเฉลี่ยถึง 14.3% และเมื่อพิจารณาค่าดัชนี ONI และดัชนีอื่นๆ ในช่วงที่เหลือของปี 2568 คาดว่าประเทศไทยมีโอกาสเผชิญความเสี่ยงน้ำท่วมฉับพลันในหลายพื้นที่มากขึ้น โดยภาพรวมปริมาณน้ำฝนทั้งปีภายใต้ 3 ฉากทัศน์ คาดว่าจะสูงกว่าค่าเฉลี่ยราว 13.0-22.0% หรือ 1,666-1,794 มิลลิเมตร ซึ่งสูงกว่าค่าเฉลี่ย 30 ปีย้อนหลัง[11/] (ภาพที่ 5) แต่ยังต่ำกว่าระดับมหาอุทกภัยปี 2554 (ภาพที่ 6) ที่มีปริมาณฝนสะสม 1,824 มิลลิเมตรหรือสูงกว่าปกติ 23.9%

ภาพที่ 5

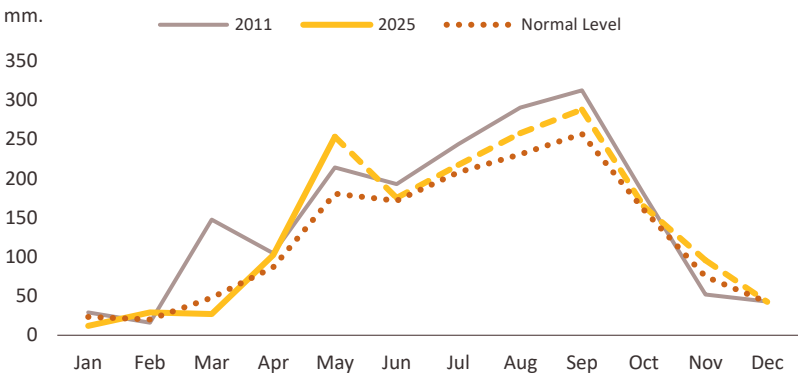
Annual Rainfall in Thailand



Note : Forecast by Krungsri Research
Source: Thailand Meteorological Department

ภาพที่ 6

Comparison of monthly rainfall in 2011 and 2024



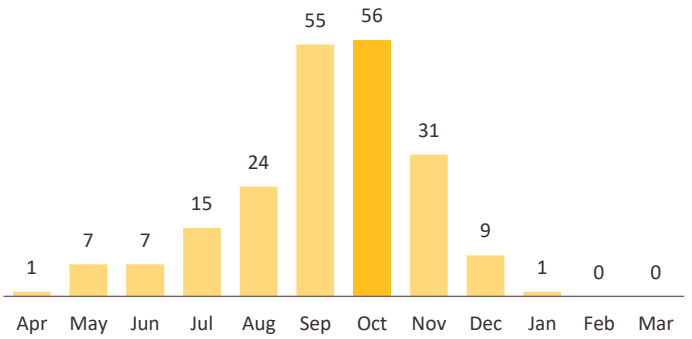
Note : Forecast by Krungsri Research
Source: Thailand Meteorological Department

9/ ระดับปกติ หมายถึง ปริมาณน้ำฝนเฉลี่ยในคาบ 30 ปี (พ.ศ.2534-2563)
10/ ข้อมูลฝนเฉลี่ยรายเดือนของแต่ละจังหวัดทั่วประเทศ ที่ผ่านการวิเคราะห์จากข้อมูลตรวจวัดระดับสถานีจากกรมอุตุนิยมวิทยา โดยใช้วิธีการเฉลี่ยเชิงพื้นที่แบบ Inverse Distance Weighted (IDW)
11/ ปริมาณน้ำฝนเฉลี่ยในคาบ 30 ปี อยู่ที่ 1,472 มิลลิเมตร

2) **ปริมาณพายุ** จากสถิติ 74 ปีย้อนหลัง[12/] โดยเฉลี่ยแล้วแต่ละปีจะมีพายุหมุนเขตร้อน (พายุดีเปรสชั่น โซนร้อน และไต้ฝุ่น) เคลื่อนตัวเข้าสู่ประเทศไทยโดยตรงราว 2-3 ลูกต่อปี ซึ่งในช่วง 10 ปีที่ผ่านมาค่าเฉลี่ยลดลงเหลือประมาณ 1-2 ลูก (ภาพที่ 7) **และในปี 2568 วิจัยกรุงศรีคาดว่าประเทศไทยจะเผชิญพายุหมุนเขตร้อนรวม 2-3 ลูก ซึ่งน้อยกว่ามหาอุทกภัยปี 2554 ที่มีพายุเข้าไทยถึง 5 ลูก** ทั้งนี้ พายุหมุนเขตร้อนสามารถเกิดขึ้นได้ในเดือนพฤษภาคม-ธันวาคม และบางครั้งอาจต่อเนื่องจนถึงมกราคมปีถัดไป โดยช่วงที่พายุมีโอกาสเกิดมากและเคลื่อนเข้าสู่ประเทศไทยบ่อยที่สุดคือปลายฤดูฝน (กันยายน-ตุลาคม) อันจะส่งผลให้ประเทศไทยเผชิญฝนตกหนัก และอาจเกิดน้ำท่วมฉับพลัน น้ำป่าไหลหลาก และน้ำล้นตลิ่งในช่วงดังกล่าว โดยเฉพาะภาคตะวันออก ภาคตะวันออกเฉียงเหนือ ภาคเหนือ และภาคกลางตอนบน (ภาพที่ 8)

ภาพที่ 7

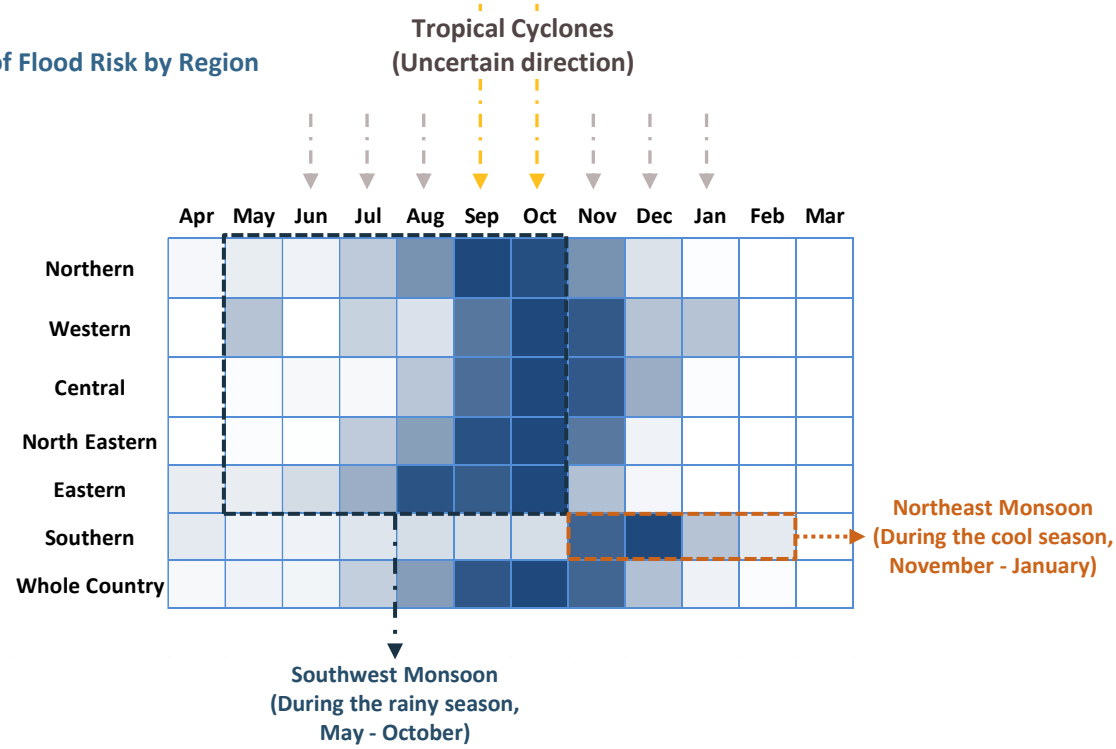
Total Number of Storms Crossing Thailand over the Last 74 Years (1951-2024)



Source: National Hydroinformatics Data Center, Krungsri Research

ภาพที่ 8

Period of Flood Risk by Region



Note : Based on an assessment of the highest flood levels, and the frequency and probability of flooding over 1990-2024.
Source: Water Situation Analysis Section (Royal Irrigation Department), Thai Meteorological Department, Krungsri Research

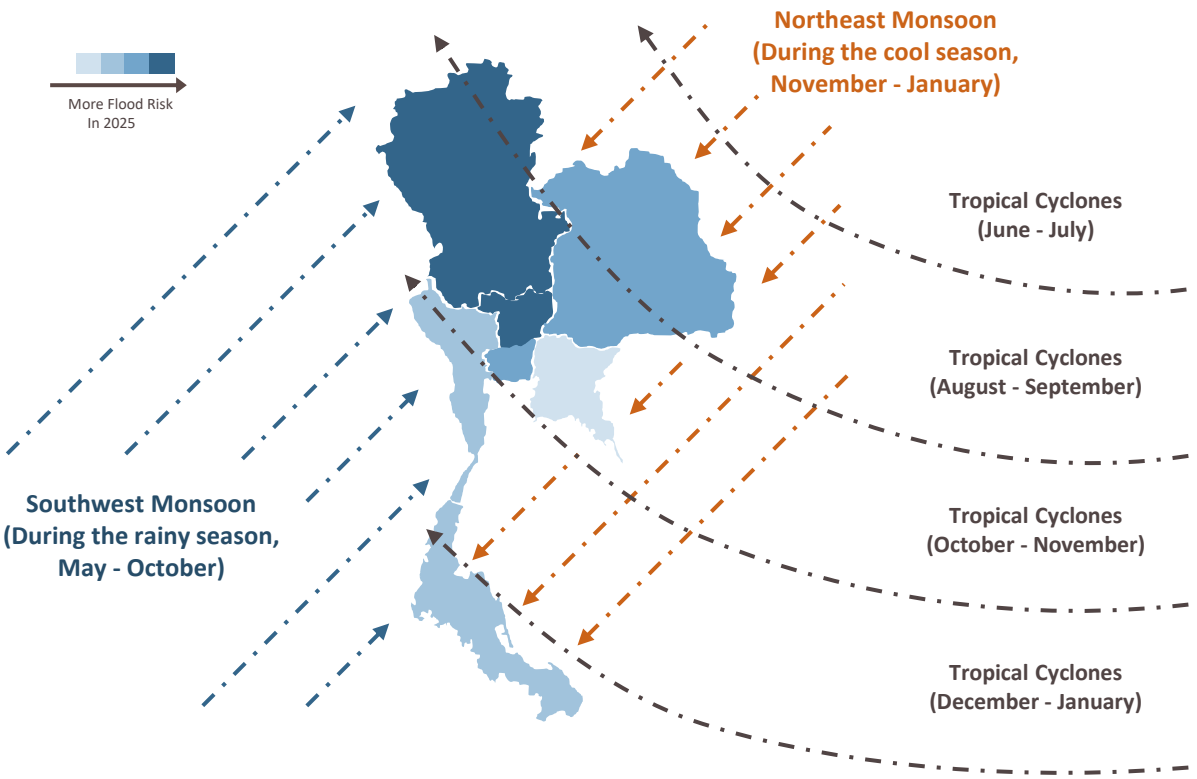
12/ ข้อมูลย้อนหลังเท่าที่มี (Available Data) ตั้งแต่ปี พ.ศ. 2494-2567 (74 ปี)

3) **ลมมรสุมประจำถิ่น** ในแต่ละปีไทยเผชิญลมมรสุมประจำถิ่น 2 ทิศทาง ได้แก่ (1) ลมมรสุมตะวันตกเฉียงใต้ มีต้นกำเนิดจากมหาสมุทรอินเดียและพัดเข้าสู่ทวีปเอเชีย โดยจะเริ่มปกคลุมประเทศไทยช่วงกลางพฤษภาคมถึงกลางตุลาคมของทุกปี (ภาพที่ 9) ซึ่งตรงกับช่วงฤดูฝนของประเทศไทย ลมมรสุมนี้เป็นสาเหตุหลักที่ทำให้เกิดฝนตกทั่วทุกภาคของไทย โดยภาคตะวันตกและภาคใต้ฝั่งอันดามันที่ได้รับผลกระทบมากที่สุดเนื่องจากมีภูเขาสูงเป็นแนวปะทะลม รองลงมาเป็นภาคเหนือ ภาคกลาง ภาคตะวันออกเฉียงเหนือ และภาคตะวันออก และ (2) ลมมรสุมตะวันออกเฉียงเหนือซึ่งเป็นมวลอากาศเย็น มีต้นกำเนิดจากประเทศจีน โดยจะเริ่มปกคลุมประเทศไทยช่วงกลางตุลาคมถึงกลางกุมภาพันธ์ของทุกปี (ภาพที่ 9) ซึ่งตรงกับฤดูหนาวของไทย ลมมรสุมนี้เป็นสาเหตุหลักที่ทำให้อากาศหนาวเย็นในภาคเหนือ ภาคตะวันออกเฉียงเหนือ และภาคกลาง แต่เมื่อพัดผ่านอ่าวไทยจะนำความชื้นและฝนตกหนักในพื้นที่ภาคใต้ฝั่งอ่าวไทย

เมื่อวิเคราะห์ผลกระทบของลมมรสุมประจำถิ่นกับดัชนีสมุทรศาสตร์และดัชนีชั้นบรรยากาศ วิจัยกรุงศรีประเมินว่าในปี 2568 ลมมรสุมตะวันตกเฉียงใต้จะมีกำลัง "แรงกว่าปกติเล็กน้อย" ในด้านความเร็วหรือการพัดพา โดยพิจารณาจากค่าดัชนี SAMOI ที่เป็นบวกเล็กน้อยทำให้กระแสลมแรงขึ้น แต่เนื่องจากดัชนี IOD มีสภาวะเป็นกลาง ทำให้ปริมาณความชื้นและรูปแบบเมฆฝนที่จะก่อตัวและส่งผลต่อไทยยังคงเป็นไปตาม "ปกติของฤดูกาล" กล่าวคือ ฝนไม่ได้เพิ่มมากกว่าค่าปกติอย่างชัดเจน ตรงกันข้ามกับลมมรสุมตะวันออกเฉียงเหนือที่มีแนวโน้มรุนแรงกว่าปกติ ทั้งแรงลมและปริมาณการเกิดเมฆฝน สะท้อนจากดัชนีเกื้อหนุนต่างๆ ทั้ง ONI, SOI และ PDO ดังที่กล่าวไปแล้ว

ภาพที่ 9

Monsoons and Tropical Cyclones Affecting Thailand

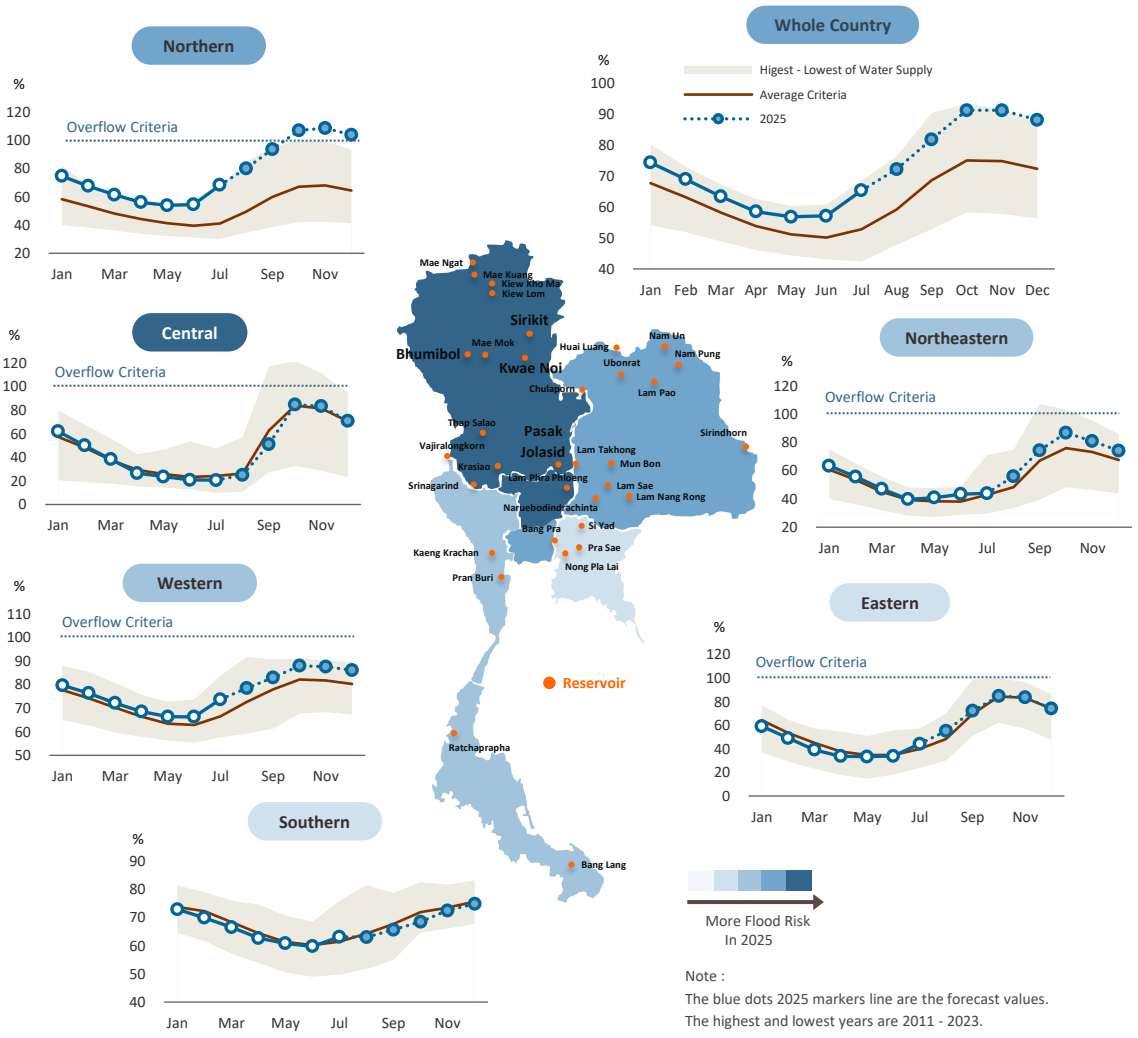


Source: Thai Meteorological Department, Krungsri Research

4) **ปริมาณน้ำในเขื่อนขนาดใหญ่และอ่างเก็บน้ำขนาดกลางอยู่ในระดับสูงกว่าค่าเฉลี่ย** ณ สิ้นเดือนมิถุนายน 2568 ปริมาณน้ำทั้งหมดในเขื่อนขนาดใหญ่อยู่ที่ 40,522 ล้านลูกบาศก์เมตร คิดเป็น 57.1% ของปริมาตรความจุ ซึ่งแม้จะสูงกว่าค่าเฉลี่ยย้อนหลัง 7 ปี[13/] แต่ยังต่ำกว่าปี 2554 ที่เกิดมหาอุทกภัย ซึ่งมีปริมาณน้ำอยู่ที่ 40,747 ล้านลูกบาศก์เมตร (58.4% ของปริมาตรความจุ) (ภาพที่ 10) เช่นเดียวกับอ่างเก็บน้ำขนาดกลางที่มีปริมาณน้ำอยู่ที่ 2,656 ล้านลูกบาศก์เมตร คิดเป็น 52.1% ของปริมาตรความจุฯ ซึ่งเป็นระดับที่สูงกว่าค่าเฉลี่ยย้อนหลัง 3 ปี[14/]

ภาพที่ 10

% Water Supply and Flood Risk



Note :
The blue dots 2025 markers line are the forecast values.
The highest and lowest years are 2011 - 2023.

Note : July 31th, 2025, is latest data
Source: Thaiwater, Krungsri Research

13/ ข้อมูลย้อนหลังเท่าที่มี (Available Data) ตั้งแต่ปี พ.ศ. 2554-2568 (15 ปี) โดยค่าเฉลี่ยปริมาณน้ำในเขื่อนขนาดใหญ่ ณ สิ้นเดือนมิถุนายนในแต่ละปี อยู่ที่ 50.6% ของปริมาตรความจุน้ำในอ่างเก็บกัก

14/ ข้อมูลย้อนหลังเท่าที่มี (Available Data) ตั้งแต่ปี พ.ศ. 2560-2568 (9 ปี) โดยค่าเฉลี่ยปริมาณน้ำในเขื่อนขนาดกลาง ณ สิ้นเดือนมิถุนายนในแต่ละปี อยู่ที่ 51.1% ของปริมาตรความจุน้ำในอ่างเก็บกัก

วิจัยกรุงศรีประเมินว่าปัจจัยต่าง ๆ ข้างต้นจะส่งผลให้ปริมาณน้ำฝนในช่วงครึ่งหลังของปี 2568 มีแนวโน้มสูงกว่าปกติ ด้วยอิทธิพลจากลมมรสุมตะวันตกเฉียงใต้ที่จะทำให้ปริมาณฝนทยอยตกตามฤดูกาลในทุกภาค ผนวกกับปริมาณพายุหมุนเขตร้อนที่มีแนวโน้มเพิ่มขึ้น ซึ่งในเดือนกรกฎาคม 2568 พายุ “วิภา” เป็นพายุหมุนเขตร้อนลูกแรกที่เข้าสู่ประเทศไทยในปีนี้ และคาดว่าจะมีพายุทยอยเกิดขึ้นอีกในเดือนสิงหาคม-ตุลาคม ประกอบกับลมมรสุมตะวันออกเฉียงเหนือที่คาดว่าจะแข็งแกร่งส่งผลกระทบต่อภาคใต้ฝั่งอ่าวไทยเป็นสำคัญในช่วงไตรมาสที่ 4 ของปี 2568 ทำให้ปริมาณน้ำฝนในช่วงครึ่งปีหลังนี้มากกว่าปกติ

เมื่อพิจารณาปริมาณน้ำในเขื่อนพบว่าในบางภาคอยู่สูงกว่าค่าเฉลี่ย และใกล้เคียงกับระดับสูงสุดในช่วงที่ผ่านมา[15/] **สะท้อนถึงโอกาสเกิดอุทกภัยที่สูงขึ้น** โดยภาคเหนือ ภาคตะวันออกเฉียงเหนือ ภาคกลางตอนบน (ในช่วงไตรมาส 3) และภาคใต้ฝั่งอ่าวไทย (ในช่วงไตรมาส 4) จัดว่าเป็นพื้นที่ที่มีความเสี่ยงอุทกภัยสูง โดยเฉพาะภาคเหนือตอนล่างซึ่งเป็นทางน้ำผ่าน และภาคกลางซึ่งเป็นพื้นที่รับน้ำและเป็นพื้นที่น้ำท่วมซ้ำซาก ซึ่งหากเกิดอุทกภัยขึ้นจะสร้างความเสียหายครอบคลุมตั้งแต่พื้นที่เกษตร สิ่งปลูกสร้าง บ้านเรือน เครื่องอุปโภคบริโภค ตลอดจนเส้นทางคมนาคมและสาธารณูปโภคต่างๆ



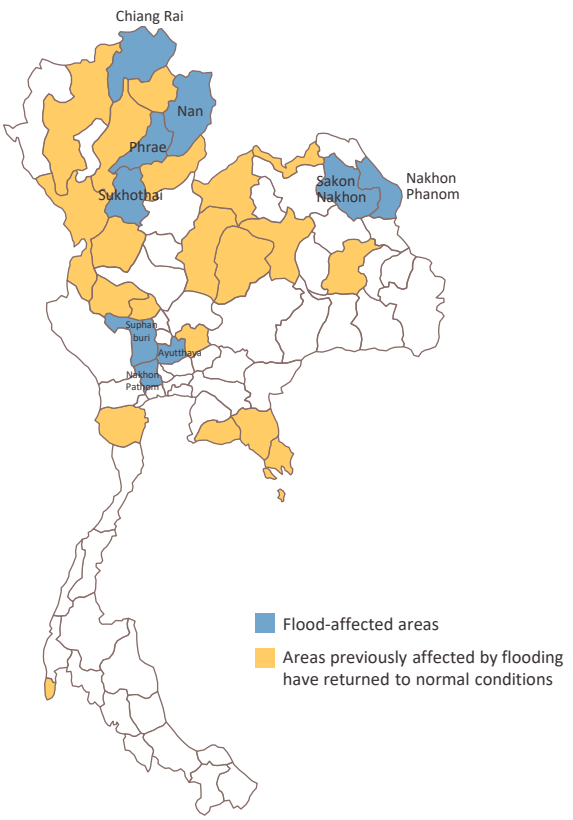
15/ ระดับสูงสุดของน้ำในเขื่อนแต่ละเดือนที่เกิดขึ้นย้อนหลังตั้งแต่ปีพ.ศ. 2554-2567 (กรอบขอบเทาบนของน้ำในเขื่อนในแต่ละภาค ในภาพที่ 10)

สถานการณ์อุทกภัยในช่วงที่ผ่านมาของปี 2568

ตั้งแต่เดือนมกราคมถึงกรกฎาคม 2568 ประเทศไทยเผชิญมรสุม และร่องมรสุมที่พัดผ่านประเทศ ประกอบกับหย่อมความกดอากาศต่ำจากประเทศเพื่อนบ้าน ทำให้เกิดอุทกภัยในบางพื้นที่โดยเฉพาะภาคเหนือ ภาคตะวันออกเฉียงเหนือตอนบน ภาคตะวันออก และภาคกลาง[16/] **โดยตั้งแต่ต้นปีถึงวันที่ 31 กรกฎาคม 2568**[17/] **มีพื้นที่ประสบอุทกภัยรวม 29 จังหวัด** และเข้าสู่ภาวะปกติแล้ว 20 จังหวัด (ณ วันที่ 31 กรกฎาคม) และยังคงมีอีก 9 จังหวัดที่ยังเผชิญอุทกภัยอยู่[18/] (ภาพที่ 11) โดยในช่วง 30 วันที่ผ่านมา (30 มิถุนายน - 29 กรกฎาคม 2568)[19/] มีพื้นที่ประสบอุทกภัย 0.9 ล้านไร่ และบ้านเรือนได้รับผลกระทบจำนวน 7,483 หลังคาเรือน โดยจังหวัดที่ได้รับความเสียหายมากที่สุด ได้แก่ เชียงราย มีพื้นที่ได้รับผลกระทบ 2.6 แสนไร่ รองลงมาเป็นพะเยา (0.8 แสนไร่) สกลนคร (0.7 แสนไร่) หนองคาย (0.7 แสนไร่) และ สุโขทัย (0.7 แสนไร่) สำหรับพื้นที่ทำการเกษตรที่เสียหาย ได้แก่ พื้นที่ปลูกข้าวที่เสียหาย 3.3 แสนไร่ รองลงมาเป็นพืชไร่และพืชผัก (46,274 ไร่) และไม้ผล ไม้ยืนต้น และอื่นๆ (13,738 ไร่)

ภาพที่ 11

Flood Area as of July 31, 2025



Source : Smart Water Operation Center, Royal Irrigation Department, Krungsri Research

16/ โดยศูนย์ข้อมูลเกษตรแห่งชาติได้ประเมินผลกระทบอุทกภัยที่มีพื้นที่เสียหายจำนวน 28 จังหวัด ที่มา : รายงานสถานการณ์ภัยพิบัติด้านการเกษตร ณ วันที่ 31 กรกฎาคม 2568 จัดทำโดยศูนย์ติดตามและแก้ไขปัญหาภัยพิบัติด้านการเกษตร กระทรวงเกษตรและสหกรณ์

17/ ที่มา : เอกสารสถานการณ์และการบริหารจัดการน้ำ ฤดูฝน ปี 2568 ณ วันที่ 30 กรกฎาคม 2568 จัดทำโดย สำนักบริหารจัดการน้ำและอุทกวิทยา กรมชลประทาน

18/ จังหวัดที่ยังประสบอุทกภัย ได้แก่ เชียงราย สุโขทัย น่าน แพร่ สุพรรณบุรี นครปฐม อยุธยา สกลนคร นครพนม

19/ การประเมินผลกระทบและความเสียหายได้จากการวิเคราะห์โดยประมาณยังมิได้ผ่านการตรวจสอบสภาพพื้นที่จริง ที่มา: สำนักงานพัฒนาเทคโนโลยีอวกาศและภูมิสารสนเทศ (องค์การมหาชน)



ความเสี่ยงอุทกภัยที่กำลังจะมาถึง ในช่วงที่เหลือของปี

ในช่วงที่เหลือของปี 2568 ประเทศไทยมีแนวโน้มเสี่ยงต่ออุทกภัยเพิ่มขึ้นต่อเนื่อง โดยเฉพาะเดือนกันยายน-ตุลาคม ที่ความเสี่ยงสูงขึ้นมากในพื้นที่ทุกภาค (ยกเว้นภาคใต้) เนื่องจากปริมาณฝนที่กรมอุตุนิยมวิทยาคาดการณ์ว่าจะสูงกว่าค่าปกติ[20/] **ขณะที่ภาคใต้ความเสี่ยงอุทกภัยจะเพิ่มขึ้นในเดือนพฤศจิกายน-ธันวาคม** จากอิทธิพลของมรสุม ร่องมรสุม และพายุหมุนเขตร้อนที่เคลื่อนผ่านไทยเป็นประจำทุกปี และเมื่อพิจารณาปัจจัยร่วมอื่นๆ ในการเข้าสู่ฤดูฝน ทั้งสภาพอากาศและปัจจัยแวดล้อมที่ส่งสัญญาณภาวะอุทกภัย วิจัยกรุงศรีจึงได้คาดการณ์ความเสี่ยงและพื้นที่เสี่ยงภายใต้สมมติฐาน ดังนี้

1) **จำนวนพายุที่จะเข้าไทย** คาดว่าจะมีพายุเข้าประเทศไทยอย่างน้อย 2-3 ลูก โดยจะนำฝนมาให้มากกว่าปกติ เนื่องจากค่าดัชนี ONI (ตัวชี้วัดภาวะเอลนีโญ-ลานีญา) กำลังลดลงอย่างต่อเนื่อง และอาจเข้าสู่ภาวะลานีญาในช่วงเดือนสิงหาคม-กันยายน 2568

2) **ปริมาณน้ำฝน** ผลกระทบจากลานีญาจะทำให้ปริมาณฝนในช่วง 5 เดือนสุดท้ายของปีนี้สูงกว่าค่าเฉลี่ย ซึ่งยิ่งฝนตกมาก ความเสียหายก็จะยิ่งรุนแรงมากขึ้นตามไปด้วย

3) **พื้นที่ฝนตก** แม้ว่า ณ สิ้นเดือนกรกฎาคม 2568 เขื่อนขนาดใหญ่และกลางจะยังมีพื้นที่เก็บน้ำเหลืออีกมากกว่า 35% **แต่หากฝนตกในพื้นที่ที่เขื่อนรองรับไม่ได้ ความเสียหายจะเพิ่มสูงขึ้น** โดยเฉพาะภาคกลางที่มีความเสี่ยงสูงหากฝนตกบริเวณใต้เขื่อนหรือนอกเขตพื้นที่ลุ่มต่ำ 13 ทุ่งลุ่มน้ำเจ้าพระยา ซึ่งเป็นพื้นที่น้ำท่วมซ้ำซากหรือพื้นที่รับน้ำ[21/] (ภาพที่ 12)

4) **แนวโน้มสถานการณ์น้ำในลำน้ำสายหลัก** สภาพน้ำในแม่น้ำขึ้นอยู่กับปริมาณน้ำที่ไหลลงมาตามเส้นทางลุ่มน้ำ หากปริมาณฝนและพื้นที่ฝนตกมีมากเกินกว่าที่แม่น้ำจะรองรับได้ อาจเกิดน้ำล้นตลิ่งในพื้นที่โดยรอบเส้นทางน้ำ โดยในปี 2568 พื้นที่เสี่ยงน้ำท่วมหลักจะเป็นภาคเหนือตอนล่าง ภาคกลาง และภาคตะวันออกเฉียงเหนือ (ภาพที่ 12-13)

นอกจากนี้ ยังมีปัจจัยอื่นๆ ที่ไม่สามารถควบคุมหรือคาดการณ์ได้แน่นอน แต่อาจเพิ่มความเสี่ยงต่อน้ำท่วมในปี 2568 เช่น ระดับน้ำทะเลที่หนุนสูงขึ้นบริเวณอ่าวไทย หรือปริมาณน้ำในแหล่งน้ำธรรมชาติที่เพิ่มสูงขึ้น โดยเฉพาะในลุ่มแม่น้ำโขง ซึ่งจะเพิ่มความเสี่ยงและความเสียหายจากน้ำท่วมได้ เนื่องจากจะทำให้การระบายน้ำทำได้ช้าลง

20/ ที่มา : การคาดหมายลักษณะอากาศของประเทศไทยราย 3 เดือน เดือนสิงหาคม-ตุลาคม 2568 ออกประกาศ 29 กรกฎาคม 2568

21/ พื้นที่น้ำท่วมซ้ำซากในช่วงปี 2554 - 2563 (9 ปี) และพื้นที่รับน้ำประกอบด้วย ทุ่งเชียงราก ทุ่งผังช้ายคลองชัยนาท-ป่าสัก ทุ่งท่าวุ้ง ทุ่งบางกุ่ม ทุ่งป่าโมก ทุ่งผักไห่ ทุ่งเจ้าเจ็ด ทุ่งบางกุ้ง ทุ่งบางบาล-บ้านแพน ทุ่งโพธิ์พระยา ทุ่งพระยาบรรลือ ทุ่งพระพิมล และทุ่งรังสิตใต้

ตารางที่ 1

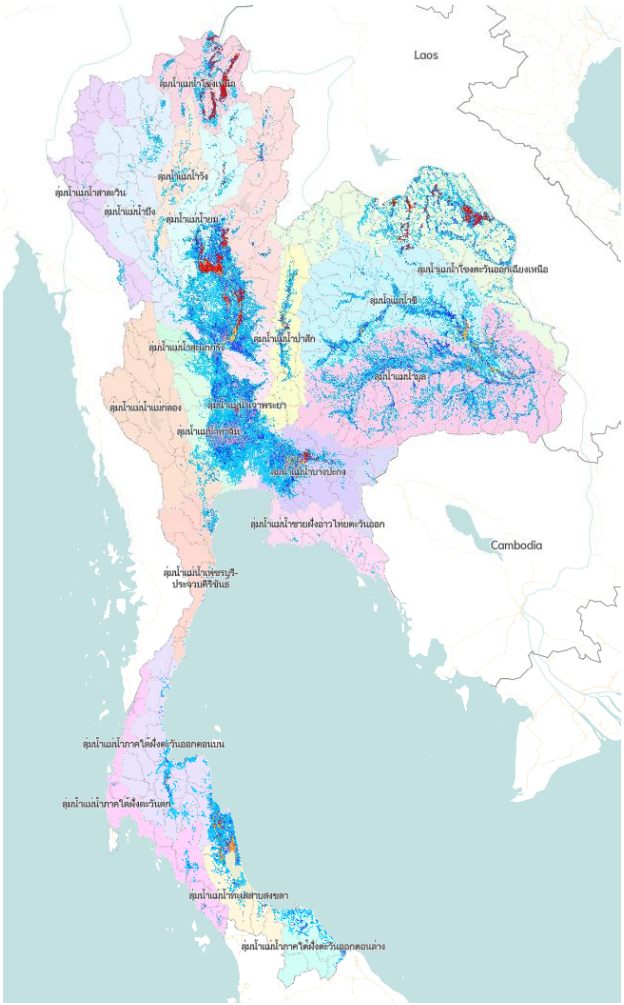
Flood Assessment Scenario

In 2025, Flood Assessment Scenario	Best Case	Base Case	Worst Case
	7.4 Mn. Rais	9.5 Mn. Rais	11.7 Mn. Rais
Probability	**30%**	**50%**	**20%**
Number of cyclones (No.)	**1-2**	**2 - 3**	**3 - 4**
Total rainfall last 5 months of the year (Above normal rate)	**10-14%**	**15-19%**	**> 20%**
Storage levels in large reservoirs at the end of October (% Capacity)	**77-81%**	**82-86%**	**87-91%**

Source: Krungsri Research

ภาพที่ 12

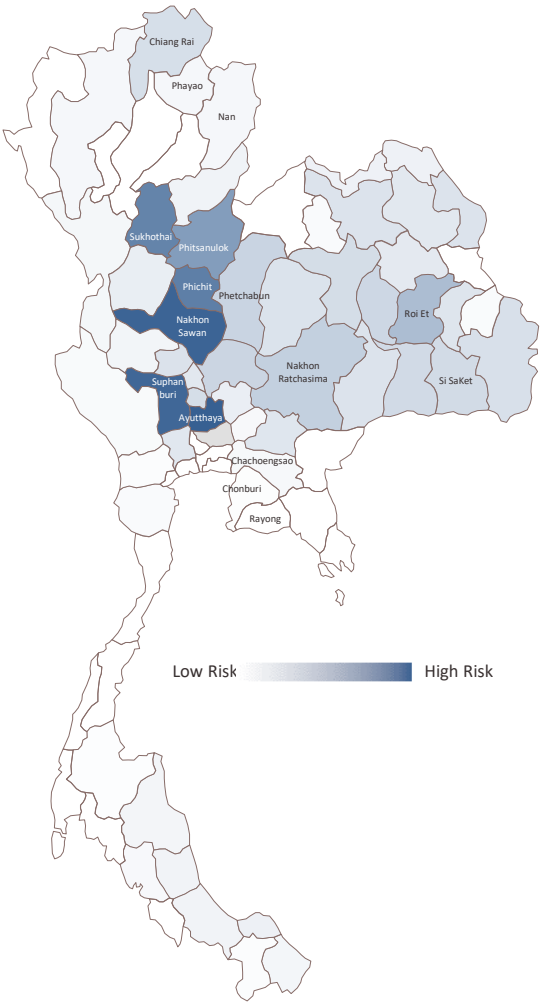
Flood-prone Areas (Flood Bed) and Main Basin



Source: Geo-Informatics and Space Technology Development Agency (Public Organization)

ภาพที่ 13

Forecasted Flood Risk Areas in 2025



Source: Thaiwater, Krungsri Research



มุมมองวิจัยกรุงศรี: คาดการณ์ผลกระทบของอุทกภัยในปี 2568 ต่อกิจกรรมทางเศรษฐกิจ

อุทกภัยสามารถสร้างความเสียหายได้หลายรูปแบบ ทั้งต่อสิ่งปลูกสร้าง บ้านเรือน โรงงาน เครื่องจักร ยานพาหนะ เส้นทางคมนาคม และสัตว์เศรษฐกิจต่างๆ ขณะที่พืชเศรษฐกิจจะได้รับผลกระทบตามปริมาณน้ำและความแรงของกระแสน้ำที่ไหลผ่านพื้นที่ โดยหากระดับน้ำเพิ่มขึ้นอย่างค่อยเป็นค่อยไปและระบายได้เร็ว ก็จะไม่ก่อความเสียหายโดยสิ้นเชิงแก่พืชบางประเภท แต่มวลน้ำที่ไหลแรงและขังในระดับสูงติดต่อกันหลายวันจะสร้างความเสียหายแก่พืชประเภทข้าวเจ้า ข้าวหอมมะลิ อ้อย มันสำปะหลัง รวมถึงพืชสวนและพืชไร่ต่างๆ เป็นอย่างมาก และจะส่งผลกระทบต่อห่วงโซ่การผลิตภาคอุตสาหกรรมที่เกี่ยวเนื่อง รวมถึงส่งผลต่อระดับราคาสินค้าเกษตรให้สูงขึ้นจากปัญหาอุปทานที่ขาดแคลนได้

ทั้งนี้ วิจัยกรุงศรีได้ประเมินพื้นที่ที่อาจได้รับผลกระทบจากอุทกภัยทั้งปี 2568 ภายใต้การจำลองสถานการณ์ 3 ฉากทัศน์[22/] และประเมินผลกระทบต่อกิจกรรมทางเศรษฐกิจ (ตารางที่ 2) ดังนี้

- **กรณีดีที่สุด** (Best case) หรือกรณีที่เกิดความเสียหายน้อยสุด จะมีพื้นที่ที่ได้รับผลกระทบ 7.4 ล้านไร่ มูลค่าทรัพย์สินเสียหาย 2.8 พันล้านบาท ขณะที่มูลค่าผลผลิตทางการเกษตรเสียหาย 1.54 หมื่นล้านบาท คิดเป็นความเสียหายรวม 1.82 หมื่นล้านบาท หรือราว -0.10% ของ GDP
- **กรณีฐาน** (Base case) มีพื้นที่ได้รับผลกระทบ 9.5 ล้านไร่ มูลค่าทรัพย์สินเสียหาย 3.7 พันล้านบาท ขณะที่มูลค่าผลผลิตทางการเกษตรเสียหาย 1.99 หมื่นล้านบาท คิดเป็นความเสียหายรวม 2.36 หมื่นล้านบาท หรือราว -0.13% ของ GDP
- **กรณีเลวร้ายที่สุด** (Worst case) มีพื้นที่ได้รับผลกระทบ 11.7 ล้านไร่ มูลค่าทรัพย์สินเสียหาย 4.5 พันล้านบาท ขณะที่มูลค่าผลผลิตทางการเกษตรเสียหาย 2.45 หมื่นล้านบาท คิดเป็นความเสียหายรวม 2.9 หมื่นล้านบาท หรือราว -0.16% ของ GDP

ตารางที่ 2

Projected Economic Losses from Flooding

Flood impact forecast for 2025	January - July	Best Case	Base Case	Worst Case
Assumptions of Affected Areas	**0.9 Mn. Rais**	**7.4 Mn. Rais**	**9.5 Mn. Rais**	**11.7 Mn. Rais**
Probability		**30%**	**50%**	**20%**
Asset Loss (Million Baht)	**340**	**2,800**	**3,700**	**4,500**
Agriculture Loss (Million Baht)[23/]	**1,830**	**15,400**	**19,900**	**24,500**
Total Loss (Million Baht)	**2,170**	**18,200**	**23,600**	**29,000**
As percent of GDP (Current Price)	**0.012%**	**0.10%**	**0.13%**	**0.16%**

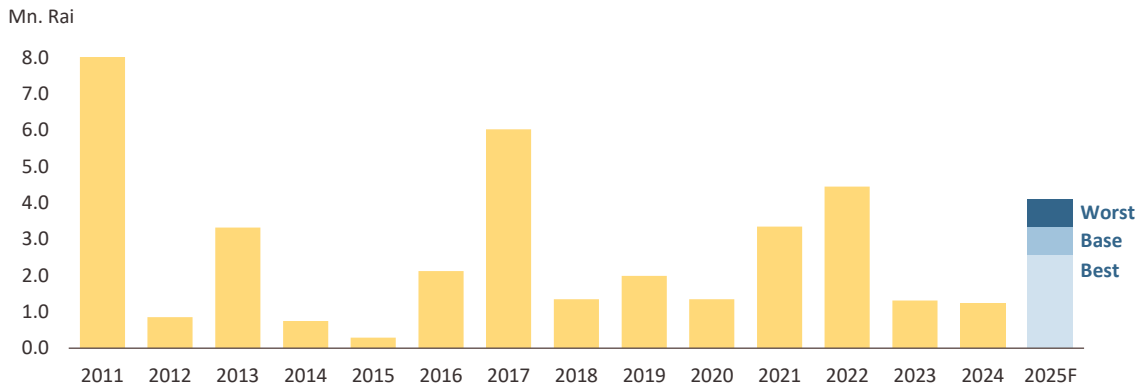
Source: Krungsri Research

22/ บนสมมติฐานพื้นที่ที่ได้รับผลกระทบในปัจจุบัน ประกอบกับความน่าจะเป็นในการเกิดอุทกภัยในช่วงที่เหลือของปี โดยใช้ข้อมูลย้อนหลังจากคลังข้อมูลน้ำแห่งชาติ สำนักงานเศรษฐกิจการเกษตร สำนักงานสภาพัฒนาการเศรษฐกิจและสังคมแห่งชาติ สำนักงานพัฒนาเทคโนโลยีอวกาศและภูมิสารสนเทศ กรมป้องกันและบรรเทาสาธารณภัย กรมชลประทาน ศูนย์ข้อมูลเกษตรแห่งชาติ และกระทรวงเกษตรและสหกรณ์

23/ คำนวณโดยวิจัยกรุงศรี ข้อมูลพื้นที่ ณ วันที่ 1 สิงหาคม 2568 บนสมมติฐานว่าพื้นที่เกษตรเสียหายราว 30-35% ของพื้นที่ที่ได้รับผลกระทบจากน้ำท่วมทั้งหมด โดยมูลค่าความเสียหาย = (ผลผลิตเสียหาย = พื้นที่เกษตรได้รับความเสียหายโดยสิ้นเชิง x ผลผลิตต่อไร่) x ราคาพืชผลเกษตรเฉลี่ยปี 2568

ภาพที่ 14

Agriculture Flood Area



Note : Forecast by Krungsri Research
Source: Ministry of Agriculture and Cooperatives

ทั้งนี้ ระดับความเสียหายจากอุทกภัยต่อเศรษฐกิจขึ้นอยู่กับ 1) **ปริมาณน้ำฝนและการบริหารจัดการน้ำ** 2) **พื้นที่ที่เกิดอุทกภัย** 3) **ตำแหน่งที่ตั้งหน่วยเศรษฐกิจ (ครัวเรือน โรงงาน พื้นที่เกษตร)** ดังนั้น หากพื้นที่ที่เกิดอุทกภัยอยู่ในบริเวณที่มีความสำคัญเชิงเศรษฐกิจสูง เช่น เป็นที่ตั้งนิคมอุตสาหกรรม แหล่งพื้นที่เกษตรที่สำคัญ หรือเส้นทางคมนาคมสำคัญที่ได้รับความเสียหาย ผลกระทบที่เกิดขึ้นจะส่งผลต่อเนื่องไปยังห่วงโซ่การผลิตตั้งแต่ต้นน้ำถึงปลายน้ำ ซึ่งทำให้ความเสียหายต่อเศรษฐกิจเพิ่มสูงขึ้น

อย่างไรก็ตาม วิจัยกรุงศรีคาดว่า อุทกภัยที่เกิดขึ้นในช่วงครึ่งหลังของปี 2568 **จะไม่รุนแรงเท่ากับมหาอุทกภัยในปี** 2554 **และจะไม่ส่งผลกระทบต่อเศรษฐกิจมากเท่ากับมหาอุทกภัยในปี** 2554 **ที่ธนาคารโลก** (World Bank) **ประเมินมูลค่าความเสียหายไว้สูงถึง** 1.44 **ล้านล้านบาท**[24/] แม้ว่าในปี 2568 จะมีปริมาณน้ำฝนที่ใกล้เคียง แต่ด้วยพื้นที่รองรับน้ำที่มากกว่า ทั้งเขื่อนขนาดใหญ่และขนาดกลาง นอกจากนี้ ความพร้อมในการบริหารจัดการน้ำของภาครัฐที่ดีขึ้น (อาทิ ระบบเตือนภัย การซ่อมแซมบำรุงงบประมาณสนับสนุน) ประกอบกับการพัฒนาระบบป้องกันของภาคเอกชนที่ดีขึ้นโดยเฉพาะในนิคมอุตสาหกรรม ยังช่วยลดผลกระทบได้อย่างมีประสิทธิภาพมากขึ้น

24/ ที่มา: 04 Thailand's National Adaptation Plan - ศูนย์องค์ความรู้ด้านทรัพยากรธรรมชาติและสิ่งแวดล้อม (mnre.go.th)

วิจัยกรุงศรี

ดร.พิมพ์นารา หิรัญกสิ

ผู้บริหารสายงานวิจัยและหัวหน้าทีมวิจัยเศรษฐกิจ

ทีมวิจัยเศรษฐกิจ

สุจิต ชัยวิชญชาติ

ผู้บริหารทีมวิจัยเศรษฐกิจมหภาค

วนิชา ดิเรกอุดมศักดิ์

นักเศรษฐศาสตร์อาวุโส

จุไรลักษณ์ พลศรี

นักเศรษฐศาสตร์อาวุโส (พยากรณ์ตัวเลขเศรษฐกิจ)

ปิยะวดี จิระศิริสุวรรณ

นักเศรษฐศาสตร์อาวุโส

ทรรศิน กลิ่นถนอม

นักเศรษฐศาสตร์อาวุโส

กฤตพร ศิริใจชิงกุล

นักเศรษฐศาสตร์

ศุภสิน อิทธิพัทธ์วงศ์

นักเศรษฐศาสตร์

ทีมวิเคราะห์และพัฒนางานวิจัย

ดร.พิมพ์นารา หิรัญกสิ

รักษาการผู้บริหารทีมวิเคราะห์และพัฒนางานวิจัย

ณธัญอร รัตนาธรรมวัฒน์

นักวิจัยอาวุโส

นฤชยา สาตแฟง

นักวิจัย

ปริญญา มิ่งสกุล

นักวิจัย

ชณัฐฐา ธาระรส

นักวิจัย

ทีมวิจัยอุตสาหกรรม

ธเนศ มหัทธนาลัย

ผู้บริหารทีมวิจัยอุตสาหกรรม

พูลสุข นิลกิจศรานนท์

นักวิเคราะห์อาวุโส (Healthcare, Mobile Operators)

ปิยะนุช สถาพงศ์ภักดี

นักวิเคราะห์อาวุโส (Transport & Logistics)

เตียร เทียมศักดิ์

นักวิเคราะห์อาวุโส (Energy, Petrochemicals)

ชัยวัช โชวเจริญสุข

นักวิเคราะห์อาวุโส (Agriculture)

นรินทร์ ตันไพบูลย์

นักวิเคราะห์อาวุโส (Power Generation, Modern Trade, Chemicals, Medical Devices)

พุทธชาด ลุนคำ

นักวิเคราะห์อาวุโส (Construction Contractors, Construction Materials, Hotels, Industrial Estate)

พัชรา กลิ่นชวนชื่น

นักวิเคราะห์อาวุโส (Real Estate)

ประพันธ์ ลีน้อย

นักวิเคราะห์ (ESG)

ศุภวัฒน์ โชคสวัสดิ์ไพศาล

นักวิเคราะห์ (Automobile, Electronics & Electrical Appliances)

รพีภูมิ ลาภมาก

นักวิเคราะห์ (Agriculture, Food & Beverages)

ทีมบริหารระบบข้อมูลวิจัย

ธมณ เสริญสุขสกุล

เจ้าหน้าที่วิเคราะห์ข้อมูล

เชิดศักดิ์ ศรีชัยตัน

เจ้าหน้าที่วิเคราะห์ข้อมูล

วงศกร แก้วอุดทัง

เจ้าหน้าที่วิเคราะห์ข้อมูล